

## 牡荆素诱导人宫颈癌 HeLa 细胞凋亡和细胞周期阻滞的作用

王 娜， 张 霞， 王玉净， 张华林， 孟亚丽<sup>\*</sup>  
(河北医科大学第一医院，河北 石家庄 050000)

**摘要：**目的 研究牡荆素诱导人宫颈癌 HeLa 细胞凋亡和细胞周期阻滞的作用。方法 HeLa 细胞培养至对数生长期，分为对照组和牡荆素低、中、高剂量组；通过 MTT 法检测细胞增殖能力，流式细胞术检测细胞凋亡率及细胞周期，Western blot 检测 Bcl-2、Bax、caspase-3、p-P53、cyclin B1、cyclin E 蛋白表达。结果 与对照组比较，牡荆素各剂量组在 24、48、72 h 内细胞存活率下降 ( $P<0.05$ ,  $P<0.01$ )，细胞凋亡率增加 ( $P<0.01$ )，Bcl-2 表达降低 ( $P<0.05$ ,  $P<0.01$ )，Bax、caspase-3 表达增加 ( $P<0.01$ )，S 期细胞数、cyclin B1、cyclin E 蛋白表达减少 ( $P<0.05$ ,  $P<0.01$ )，G<sub>1</sub> 期细胞数、p-P53 表达增加 ( $P<0.05$ ,  $P<0.01$ )。结论 牡荆素具有抑制 HeLa 细胞增殖的作用，该作用与诱导细胞凋亡和细胞周期阻滞有关。

**关键词：**牡荆素；宫颈癌；凋亡；细胞周期

中图分类号：R285.5

文献标志码：B

文章编号：1001-1528(2022)03-0961-04

doi:10.3969/j.issn.1001-1528.2022.03.051

宫颈癌为威胁妇女生命健康的重大疾病，全球每年约有 50 万新发病例，且其致死率高居女性恶性肿瘤第四位<sup>[1]</sup>。近年来，随着宫颈癌筛查手段及水平的提高，宫颈癌发病率明显下降，但仍然有一大部分患者确诊时即为晚期而失去了手术的最佳阶段<sup>[2]</sup>。目前，化疗仍然是复发和晚期宫颈癌患者最主要的治疗手段<sup>[3]</sup>。中药治疗宫颈癌具有低毒副作用、疗效显著、价格低廉等优点，引起了广大研究者的关注<sup>[4]</sup>。

牡荆素是来源于牡荆子和牡荆叶中的天然黄酮类化合物，具有预防心肌缺血再灌注损伤、降血糖、神经保护、止痛、抗氧化、抗炎等生物活性<sup>[5]</sup>。研究发现，牡荆素能呈时间-剂量依赖性的抑制人肝癌细胞 SMMC-7721 的增殖，并诱导凋亡<sup>[6]</sup>。姜玲等<sup>[7]</sup>证实在体外牡荆素能抑制卵巢癌 SKOV3 细胞系干细胞样细胞球的形成，但牡荆素抑制肿瘤细胞增殖的机制并未阐明，且其对宫颈癌的抑制作用相关报道较少。因此，本研究以人宫颈癌 HeLa 细胞为研究对象，在证实牡荆素具有抑制其增殖作用的基础上，进一步探讨与凋亡及细胞周期的关系，初步阐明其作用机制，以为后续临床应用奠定基础。

### 1 材料

1.1 试剂与药物 牡荆素（纯度>96%，南京道斯夫生物科技有限公司）；胎牛血清、DMEM 培养基（美国 Gibco 公司）；MTT 细胞增殖及细胞毒性检测试剂盒（上海碧云天生物技术有限公司）；Annexin V-FITC/PI 细胞凋亡检测试剂盒（大连美仑生物技术有限公司）；细胞周期检测试剂盒（杭州联科生物技术股份有限公司）；Bcl-2、Bax、

caspase-3、p-P53、cyclin B1、cyclin E、GAPDH 多克隆抗体（美国 CST 公司）。

1.2 仪器 YSK-239 型高速离心机（美国 Sigma 公司）；IX7 型倒置荧光显微镜（日本 Olympus 公司）；Multiscan-GO 酶标仪（美国 Thermo 公司）；FACSCalibur 流式细胞仪（美国 BD 公司）；Mini-Protean 小垂直板电泳仪（美国 Bio-Rad 公司）。

1.3 细胞株 人宫颈癌 HeLa 细胞购于中国科学院上海细胞库。

### 2 方法

2.1 HeLa 细胞增殖 HeLa 细胞培养至对数生长期，离心收集细胞并用完全培养液重悬，调整细胞密度为  $1\times10^5/\text{mL}$ 。取 100  $\mu\text{L}$  胞悬液于 96 孔细胞培养板中，培养 24 h 后，弃去培养液，分为对照组，牡荆素低、中、高剂量组，分别加入含终浓度为 0、2.5、5、10  $\mu\text{mol/L}$  牡荆素完全培养液，继续培养 24、48、72 h。采用 MTT 法，于 450 nm 波长处测光密度 (OD) 值。

2.2 细胞凋亡率检测 HeLa 细胞培养于 6 孔培养板中，按“2.1”项下方法分组处理，培养 48 h 后，离心并收集细胞于上样管中。依次加入 Annexin V-FITC 结合液 150  $\mu\text{L}$ 、Annexin V-FITC 3  $\mu\text{L}$ 、PI 2  $\mu\text{L}$  重悬细胞，在室温条件下于暗室内孵育 15 min。加入磷酸盐缓冲液使终体积为 500  $\mu\text{L}$ ，经 300 目筛子滤过后，上机检测，并通过 Cell Quest 软件分析。

2.3 细胞周期检测 HeLa 细胞培养于 6 孔培养板中，按“2.1”项下方法分组处理，培养 48 h 后，离心并收集细胞

收稿日期：2020-04-16

基金项目：河北省卫生厅基金项目（20160709）

作者简介：王 娜（1983—），女，硕士，主治医师，从事妇科肿瘤治疗研究。Tel：(0311) 87155172，E-mail：wangna5421@126.com

\*通信作者：孟亚丽（1963—），女，主任医师，从事妇科肿瘤治疗研究。Tel：(0311) 87155172，E-mail：736275769@qq.com

于上样管中。在4℃条件下用预冷至0℃75%乙醇固定HeLa细胞0.5 h，加少量磷酸盐缓冲液重悬细胞，再加入适量PI使其终浓度为50 mg/L。在室温条件下于暗室内孵育30 min，加入磷酸盐缓冲液使终体积为500 μL，经300目筛子滤过后，上机检测。

**2.4 Western blot法检测Bcl-2、Bax、caspase-3、p-P53、cyclin B1、cyclin E蛋白表达** HeLa细胞培养于6孔培养板中，按“2.1”项下方法分组处理，培养48 h后，离心并收集细胞于1.5 mL离心管中。在冰水浴下加入细胞裂解液裂解0.5 h，离心取上清，采用考马斯亮蓝法测总蛋白浓度。经12%SDS-PAGE凝胶电泳分离目的蛋白，并通过湿转法将目的蛋白转移至聚偏二氟乙烯膜上。用封闭液在4℃条件下封闭2 h，再用稀释后(1:2 000)一抗(Bcl-2、Bax、caspase-3、p-P53、cyclin B1、cyclin E)孵育过

夜，二抗(1:5 000)孵育2 h。采用ECL法显色，以GAPDH为内参蛋白，Image J软件对目的蛋白条件进行分析与半定量。

**2.5 统计学分析** 通过SPSS 18.0软件进行处理，数据以( $\bar{x}\pm s$ )表示，组间比较采用单因素方法分析。 $P<0.05$ 表示差异具有统计学意义。

### 3 结果

**3.1 牡荆素对HeLa细胞增殖的影响** 与对照组比较，牡荆素各剂量组在24、48、72 h内HeLa细胞存活率均下降( $P<0.05$ ,  $P<0.01$ )，且随着药物浓度及作用时间的延长，细胞存活率越低，具有明显的剂量依赖关系及时间依赖关系，结果见表1。由此可知，牡荆素具有抑制HeLa细胞增殖的作用。

表1 牡荆素对HeLa细胞增殖的影响( $\bar{x}\pm s$ , n=5)

组别	剂量/(μmol·L <sup>-1</sup> )	细胞存活率/%		
		24 h	48 h	72 h
对照组	0	100.00±0	100.00±0	100.00±0
牡荆素低剂量组	2.5	89.55±10.05*	81.56±9.24**	75.06±7.85**
牡荆素中剂量组	5	73.90±8.36**	64.63±7.52**	52.14±5.97**
牡荆素高剂量组	10	63.58±8.81**	49.41±5.44**	40.27±6.13**

注：与对照组比较，\* $P<0.05$ , \*\* $P<0.01$ 。

**3.2 牡荆素对HeLa细胞凋亡率的影响** 与对照组比较，牡荆素各剂量组HeLa细胞48 h后的细胞凋亡率均增加( $P<0.01$ )，结果见图1。由此可知，牡荆素对HeLa细胞

凋亡率的诱导作用，随着作用剂量的增加而增强，表现出明显的剂量依赖关系。

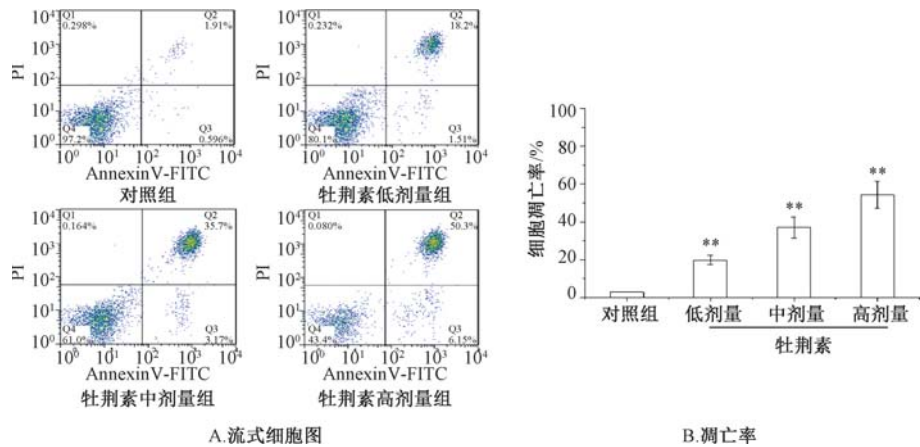


图1 牡荆素对HeLa细胞凋亡率的影响(n=5)

**3.3 牡荆素对HeLa细胞凋亡相关蛋白表达的影响** 与对照组比较，牡荆素各剂量组HeLa细胞Bcl-2表达降低( $P<0.05$ ,  $P<0.01$ )，Bax表达升高( $P<0.01$ )，牡荆素中、高剂量组HeLa细胞caspase-3表达升高( $P<0.01$ )，牡荆素低剂量组caspase-3表达升高，但差异无统计学意义( $P>0.05$ )，结果见图2、表2。由此可知，牡荆素具有HeLa细胞凋亡作用。

**3.4 牡荆素对HeLa细胞周期分布的影响** 与对照组比较，牡荆素各剂量组HeLa细胞S期细胞数减少( $P<0.05$ ,  $P<$

0.01)，而G<sub>1</sub>细胞数增加( $P<0.05$ ,  $P<0.01$ )，结果见图3。由此可知，牡荆素对HeLa细胞周期G<sub>1</sub>/S进程具有阻滞作用。

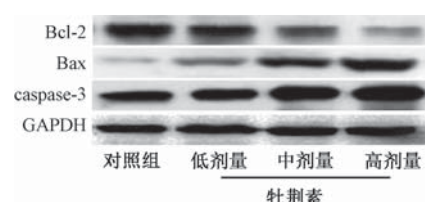


图2 牡荆素对HeLa细胞凋亡相关蛋白表达的影响

表2 牡荆素对HeLa细胞凋亡相关蛋白表达的影响 ( $\bar{x}\pm s$ , n=5)

组别	剂量/( $\mu\text{mol}\cdot\text{L}^{-1}$ )	Bcl-2	Bax	caspase-3
对照组	0	1.41±0.16	0.23±0.03	1.10±0.13
牡荆素低剂量组	2.5	1.23±0.14*	0.62±0.08**	1.22±0.14
牡荆素中剂量组	5	0.85±0.09**	1.06±0.12**	1.57±0.16**
牡荆素高剂量组	10	0.47±0.05**	1.38±0.15**	1.84±0.21**

注:与对照组比较,\*P&lt;0.05,\*\*P&lt;0.01。

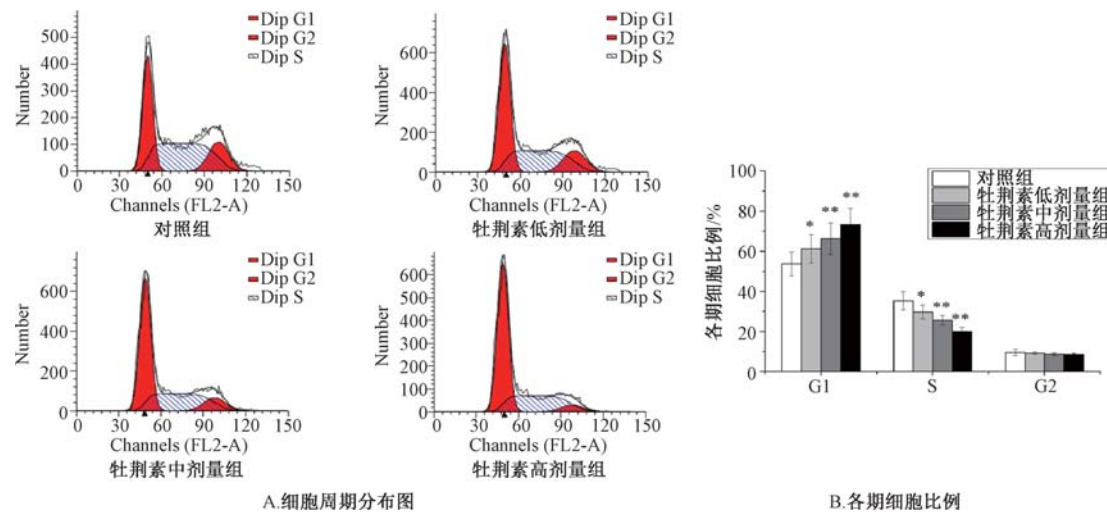


图3 牡荆素对人宫颈癌HeLa细胞周期分布的影响 (n=5)

3.5 牡荆素对HeLa细胞p-P53、cyclin B1、cyclin E蛋白表达的影响 与对照组比较, 牡荆素组各剂量组HeLa细胞p-P53表达增加( $P<0.01$ ), cyclin B1、cyclin E蛋白表达降低( $P<0.05$ ,  $P<0.01$ ), 结果见图4、表3。由此可知, 牡荆素具有细胞周期阻滞作用。

#### 4 讨论

细胞凋亡与肿瘤的发生发展关系密切, 凋亡进程由多种基因严密调控, 是一种为适应外部环境而进行的主动性

表3 牡荆素对人宫颈癌HeLa细胞p-P53、cyclin B1、cyclin E蛋白表达的影响 ( $\bar{x}\pm s$ , n=5)

组别	剂量/( $\mu\text{mol}\cdot\text{L}^{-1}$ )	p-P53	cyclin B1	cyclin E
对照组	0	0.21±0.03	0.63±0.08	0.86±0.10
牡荆素低剂量组	2.5	0.36±0.05**	0.48±0.06**	0.67±0.08*
牡荆素中剂量组	5	0.53±0.07**	0.24±0.04**	0.32±0.03**
牡荆素高剂量组	10	0.74±0.06**	0.18±0.02**	0.11±0.02**

注:与对照组比较,\*P&lt;0.05,\*\*P&lt;0.01。

程序死亡过程<sup>[8]</sup>。在众多的凋亡调控基因中, B淋巴细胞瘤-2基因(Bcl-2)和Bcl-2相关X蛋白(Bax)在宫颈癌等多种肿瘤中表达异常, 为细胞凋亡过程中的关键调控因子, 已成为多种抗癌药物研发的热门靶点<sup>[9]</sup>。Bcl-2基因可阻断细胞凋亡进程, 而作为Bcl-2同源基因的Bax则具有促进细胞凋亡作用<sup>[10]</sup>。细胞凋亡最主要的途径为线粒体凋亡途径, 凋亡信号首先促使线粒体的通透性转换孔开放, 随后使线粒体跨膜电位下降, 进而导致线粒体膜功能障碍, 引起半胱氨酸蛋白酶-3(caspase-3)的激活及表达增加, 诱发caspase家族级联反应, 最终使细胞发生凋亡<sup>[11]</sup>。本研究首先采用Annexin V-FITC/PI双染流式细胞法在细胞水平上, 发现牡荆素具有诱导HeLa细胞凋亡的作用; 进而采

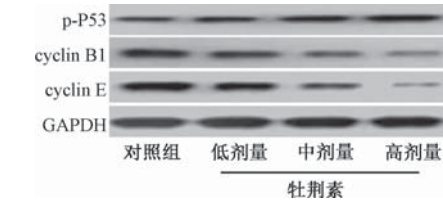


图4 牡荆素对人宫颈癌HeLa细胞p-P53、cyclin B1、cyclin E蛋白表达的影响

用Western blot法在分子水平上, 证实牡荆素可以降低HeLa细胞Bcl-2表达、增加Bax、caspase-3表达, 进一步提示牡荆素抑制HeLa细胞增殖作用与诱导凋亡有关。

近年来, 细胞癌变与细胞周期的关系已成为广大研究者关注的焦点, 通过靶向细胞信号传导途径中的相关蛋白, 调节细胞周期进程<sup>[12]</sup>。除G<sub>0</sub>期、G<sub>1</sub>期、S期、G<sub>2</sub>期及M期外, G<sub>1</sub>/S期是最为重要的检查点, 其可监测DNA合成的保真度和细胞组分的完整性<sup>[13]</sup>。本研究采用流式细胞术检测发现, 人宫颈癌HeLa细胞经不同浓度的牡荆素处理48 h后, S期细胞数减少, 而G<sub>1</sub>细胞数增加, 提示牡荆素对HeLa细胞周期G<sub>1</sub>/S进程具有阻滞作用。p53蛋白是基因组的监护者, 致癌信号、DNA损伤等细胞应激均会激活

p53信号通路，进而活化多个下游途径，使细胞周期检查点G<sub>1</sub>/S期暂时停顿，诱导细胞凋亡及衰老<sup>[14]</sup>。细胞周期蛋白及细胞周期蛋白依赖性激酶共同调控细胞周期的进程，其中细胞周期蛋白cyclin B1和cyclin E是促进G<sub>1</sub>期向S期转换的主要调节蛋白，若表达降低，则会导致G<sub>1</sub>/S进程受阻<sup>[15-16]</sup>。本研究发现人宫颈癌HeLa细胞经不同浓度的牡荆素处理48 h后，p-P53表达增加，而cyclin B1、cyclin E蛋白表达降低，进一步提示牡荆素具有阻滞细胞周期G<sub>1</sub>/S进程的作用。

综上所述，牡荆素可能通过诱导人宫颈癌HeLa细胞凋亡和细胞周期阻滞，发挥抑制HeLa细胞增殖作用，为牡荆素治疗宫颈癌提供重要的实验基础，也可为牡荆素抗肿瘤作用机制的研究提供新的思路。

#### 参考文献：

- [1] Murfin J, Irvine F, Meechan-Rogers R, et al. Education, income and occupation and their influence on the uptake of cervical cancer prevention strategies: a systematic review [J]. *J Clin Nurs*, 2020, 29(3-4): 393-415.
- [2] Bedell S L, Goldstein L S, Goldstein A R, et al. Cervical cancer screening: past, present, and future [J]. *Sex Med Rev*, 2020, 8(1): 28-37.
- [3] Cibula D, Planchamp F, Fischerova D, et al. European society of gynaecological oncology quality indicators for surgical treatment of cervical cancer [J]. *Int J Gynecol Cancer*, 2020, 30(1): 3-14.
- [4] Yang J P, Li J Y, Sun M M, et al. Studies of traditional Chinese medicine monomer on HeLa cell of cervical cancer [J]. *Pak J Pharm Sci*, 2014, 27(4 Suppl): 1063-1068.
- [5] 白军, 谢宛玉, 曹建国. 紫花牡荆素药理作用的研究进展[J]. 中国新药杂志, 2010, 19(21): 1954-1957.
- [6] 石元英, 邓立东, 饶伟文, 等. 牡荆素对人肝细胞癌SMMC-7721细胞的增殖抑制作用及其机制的影响 [J]. 中国医院药学杂志, 2016, 36(5): 366-371.
- [7] 姜玲, 曹晓正, 李程, 等. 紫花牡荆素对SKOV3卵巢癌干细胞样细胞FoxO3a磷酸化的影响 [J]. 中国癌症杂志, 2015, 25(5): 360-364.
- [8] Ihraiz W G, Ahram M, Bardawel S K. Proton pump inhibitors enhance chemosensitivity, promote apoptosis, and suppress migration of breast cancer cells [J]. *Acta Pharm*, 2020, 70(2): 179-190.
- [9] 周瑶瑶, 陈风云, 屠文骆. 棕榈酸在体外通过促进凋亡作用抑制宫颈癌HeLa细胞增殖的研究 [J]. 实用肿瘤学杂志, 2019, 33(5): 402-406.
- [10] 陈彦洁, 柳传毅, 吕满霞, 等. 鱼藤素诱导肺癌细胞凋亡和细胞周期阻滞的分子机制 [J]. 中国药理学通报, 2019, 35(8): 1109-1114.
- [11] Bhagya K P, Aswathy R J, Radhakrishnan K, et al. Autoimmune regulator enhanced the expression of caspase-3 and did not induce massive germ cell apoptosis in GC1-Spg cells [J]. *Cell Physiol Biochem*, 2020, 54(1): 40-52.
- [12] 缪慧, 朱伯金, 邵伯云. 灯盏花素对肺癌A549细胞增殖、凋亡及细胞周期的影响 [J]. 临床和实验医学杂志, 2019, 18(22): 2405-2409.
- [13] 武红, 杨丽萍, 冯海芹, 等. 沙利度胺对人宫颈癌Hela细胞周期的影响及其作用机制 [J]. 现代肿瘤医学, 2019, 27(19): 3378-3381.
- [14] Zhu R X, Cheng A S L, Chan H L Y, et al. Growth arrest-specific gene 2 suppresses hepatocarcinogenesis by intervention of cell cycle and p53-dependent apoptosis [J]. *World J Gastroenterol*, 2019, 25(32): 4715-4726.
- [15] Farshadi E, Yan J, Leclerc P, et al. The positive circadian regulators CLOCK and BMAL1 control G2/M cell cycle transition through cyclin B1 [J]. *Cell Cycle*, 2019, 18(1): 16-33.
- [16] Dong L, Yu L, Bai C R, et al. USP27-mediated cyclin E stabilization drives cell cycle progression and hepatocellular tumorigenesis [J]. *Oncogene*, 2018, 37(20): 2702-2713.